

TD 2 : Magnétostatique, Inductance.

Exercice 1

On considère un solénoïde infiniment long (C) contenant n spires par unité de longueur et parcouru par un courant d'intensité I . Le champ magnétique à l'intérieur est axial, uniforme et vaut $B_0 = \mu_0 nI$.

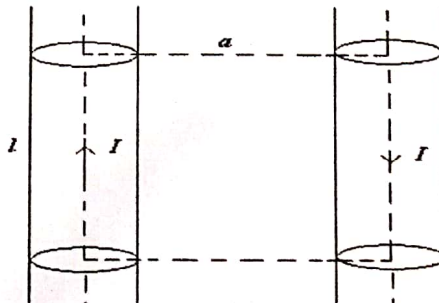
- 1) En utilisant le théorème d'Ampère calculer le champ d'induction crée par ce solénoïde à l'intérieur et à l'extérieur.
- 2) Calculer le potentiel vecteur $\vec{A}(r)$ en tout point M situé à la distance r de l'axe du solénoïde.

Tracer les graphes de $B(r)$ et de $A(r)$.

Exercice 2

Un circuit fermé est constitué de deux conducteurs cylindriques identiques de rayon R , parallèles, de longueur infinie et dont les axes sont à la distance a l'un de l'autre. On considère une portion de ce circuit limitée par le rectangle de longueur a et de largeur l (figure).

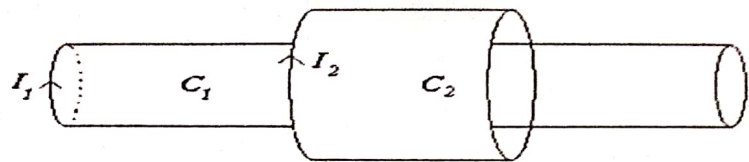
- 1) Calculer le flux magnétique total \vec{B} à travers ce rectangle.
- 2) En déduire le coefficient d'auto-induction L .



Exercice 3

Un grand solénoïde (C_1) de section S_1 et contenant n_1 spires par unité de longueur est parcouru par un courant d'intensité I_1 . Ce solénoïde est en présence d'une bobine coaxiale (C_2) comprenant N_2 spires, de section S_2 et parcourue par un courant d'intensité I_2 .

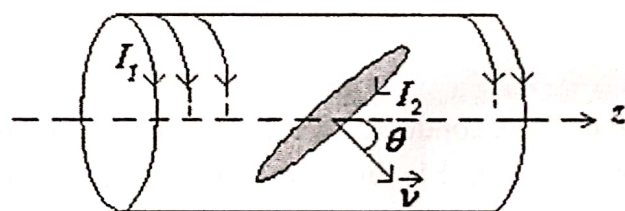
Calculer le coefficient d'induction mutuelle des deux bobines et préciser son signe.

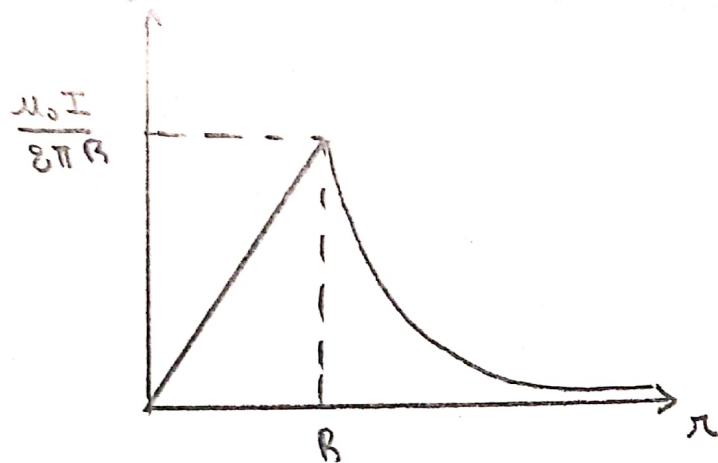


Exercice 4

Un grand solénoïde (C_1) de section S_1 et contenant n_1 spires par unité de longueur est parcouru par un courant d'intensité I_1 . Ce solénoïde est en présence d'une spire (C_2), de section S_2 et parcourue par un courant d'intensité I_2 . L'axe de la spire porté par un vecteur \vec{v} fait un angle θ avec l'axe de (C_1) (figure).

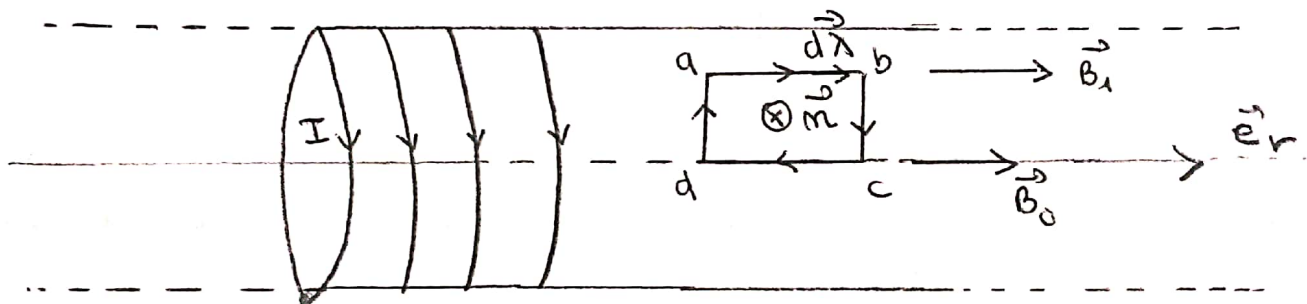
Calculer le coefficient d'induction mutuelle des deux bobines et préciser son signe.





Exercice 11 (Solenoïde infini)

$$B_0 = \mu_0 n I$$



1) En utilisant les éléments de symétrie du système, calculer le champ d'induction créé par le solénoïde à l'intérieur et à l'extérieur

• A l'intérieur

D'après le théorème d'Ampère

$$\oint \vec{B} \cdot d\vec{\lambda} = \mu_0 \sum I$$

(r)

Soit le contour rectangle abcda placé à l'intérieur du solénoïde (contour fictif : contour d'Ampère)

$$\int_{ab} \vec{B} \cdot d\vec{\lambda} + \int_{bc} \vec{B} \cdot d\vec{\lambda} + \int_{cd} \vec{B} \cdot d\vec{\lambda} + \int_{da} \vec{B} \cdot d\vec{\lambda} = \mu_0 \sum I$$

$$B_1 ab + 0 - B_0 cd + 0 = 0$$

$$\uparrow \quad \uparrow \quad \uparrow \quad \uparrow \quad \vec{B} \cdot d\vec{\lambda}$$

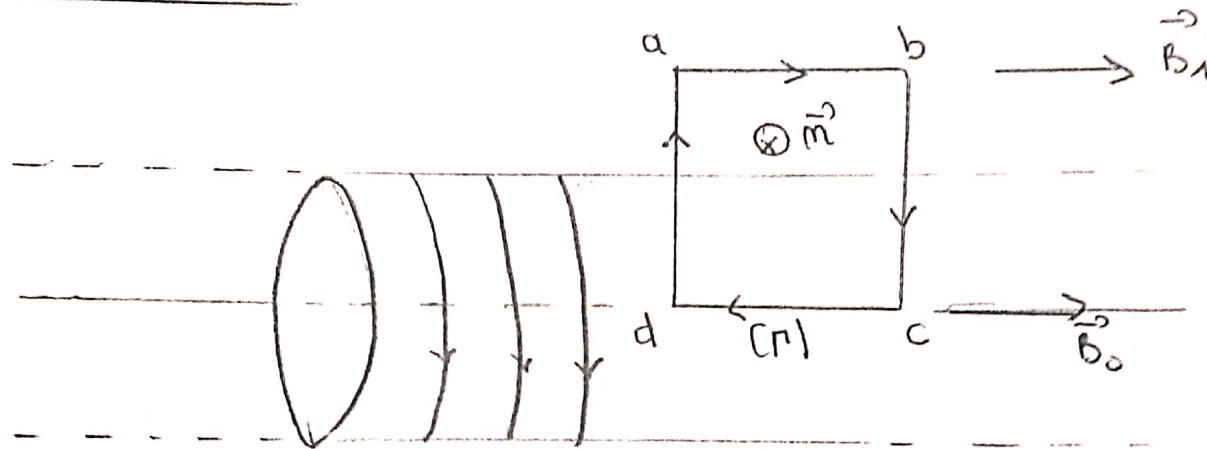
car B dépend de la distance à l'axe.

Sur ab B est constante, pareil pour dc.
et on a ab = dc.

Donc

$$\vec{B} = \mu_0 m I \vec{e}_r$$

• A l'extérieur.



Montrons maintenant que le champ créé à l'extérieur du polémoïde est nul.

Soit abcd un contour fermé.

le même calcul que précédemment donne pour le 1^{er} membre

$$B_1 ab - B_0 cd = \mu_0 \sum I$$

le nombre de spires traversant abcd est :

$$N = m \cdot l = m(ab)$$

i.e: abcd est traversé par $-m(ab)I$

(le signe - : car les courants sont de sens opposé à \vec{m})

$$\Rightarrow B_1 ab - B_0 cd = -\mu_0 m(ab)I$$

$$\Rightarrow B_1 - \mu_0 m I = -\mu_0 m I$$

$$\Rightarrow B_1 = 0$$

Soit: $\boxed{\vec{B}_1 = \vec{0}}$

$$\Rightarrow \boxed{\vec{B} = \vec{0}}$$

Ensuite le potentiel vecteur (vecteur A(r)) en tout point à la distance r de l'axe du polémoïde le potentiel vecteur s'écrit :

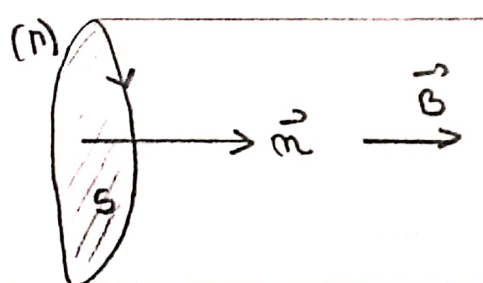
$$\vec{A} = \frac{\mu_0}{4\pi} \oint_{(r)} I \cdot \frac{d\vec{l}}{r}$$

$d\vec{l}$ étant orthoradial, on a \vec{A} aussi qui est orthoradial

Par ailleurs, la symétrie de révolution implique que \vec{A} ne dépend que de r (distance à l'axe).

De plus on a :

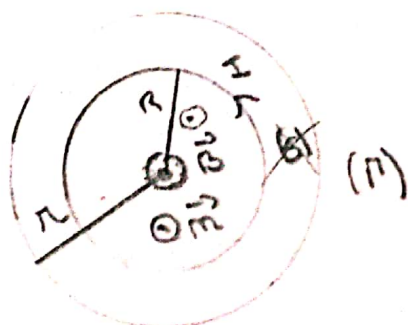
$$\iint_{(S)} \vec{B} \cdot \vec{n} dS = \oint_{(r)} \vec{A} d\lambda \quad \text{car} \quad \vec{B} = \vec{r} \operatorname{rot} \vec{A}$$



A l'extérieur du polémoïde : $r > R$

$$\iint_{(S)} \vec{B} \cdot \vec{n} dS = \oint_{(R)} \vec{A} \cdot d\vec{\lambda} = \iint_{(S)} B dS$$

or : $\vec{B} \parallel \vec{n}$ et de même sens



B est uniforme

$$\iint_{(S)} B dS = B \iint_{(S)} dS = B \pi R^2 = A 2\pi r \Rightarrow A(r) = \frac{B R^2}{2\pi}$$

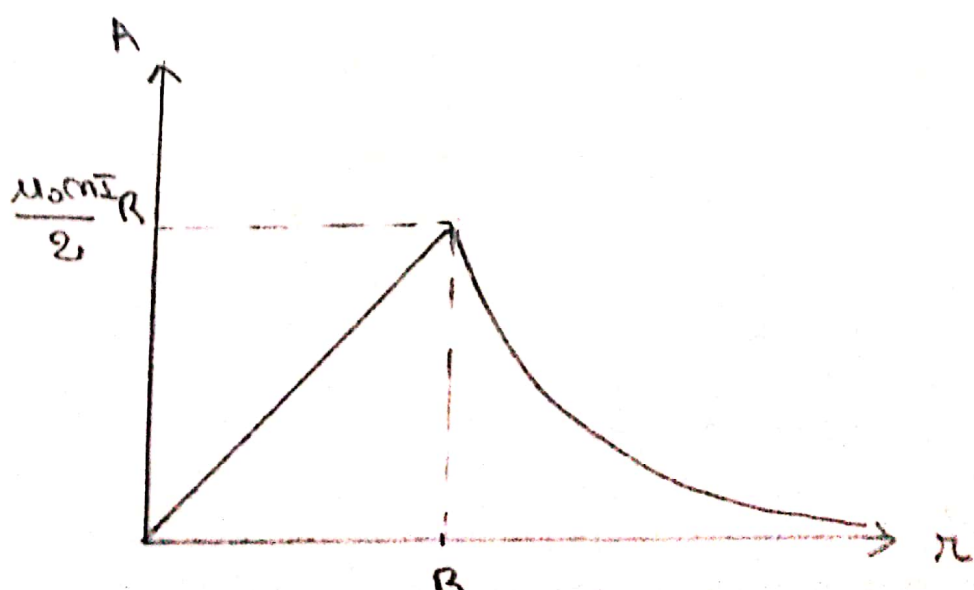
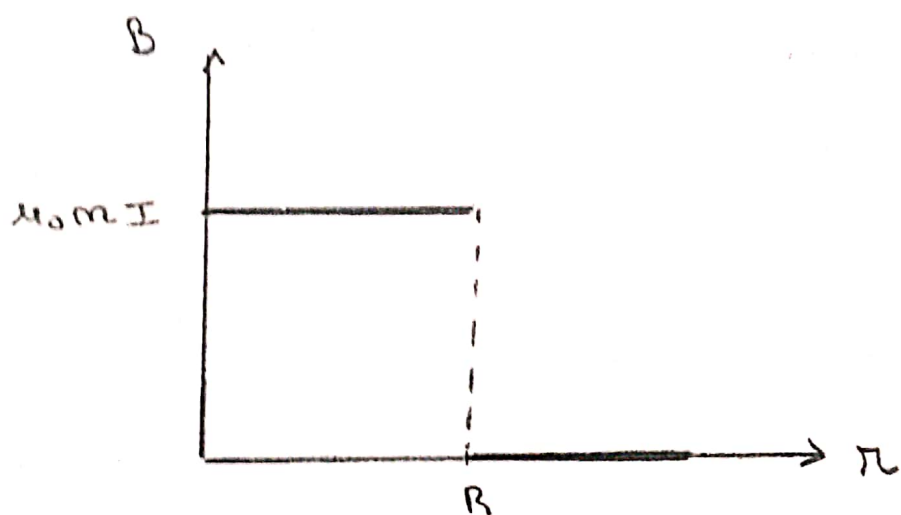
$$A_m(r) = \frac{\mu_{0mI}}{2} B^2 e_0$$

Pour $r < R$, le même calcul donne

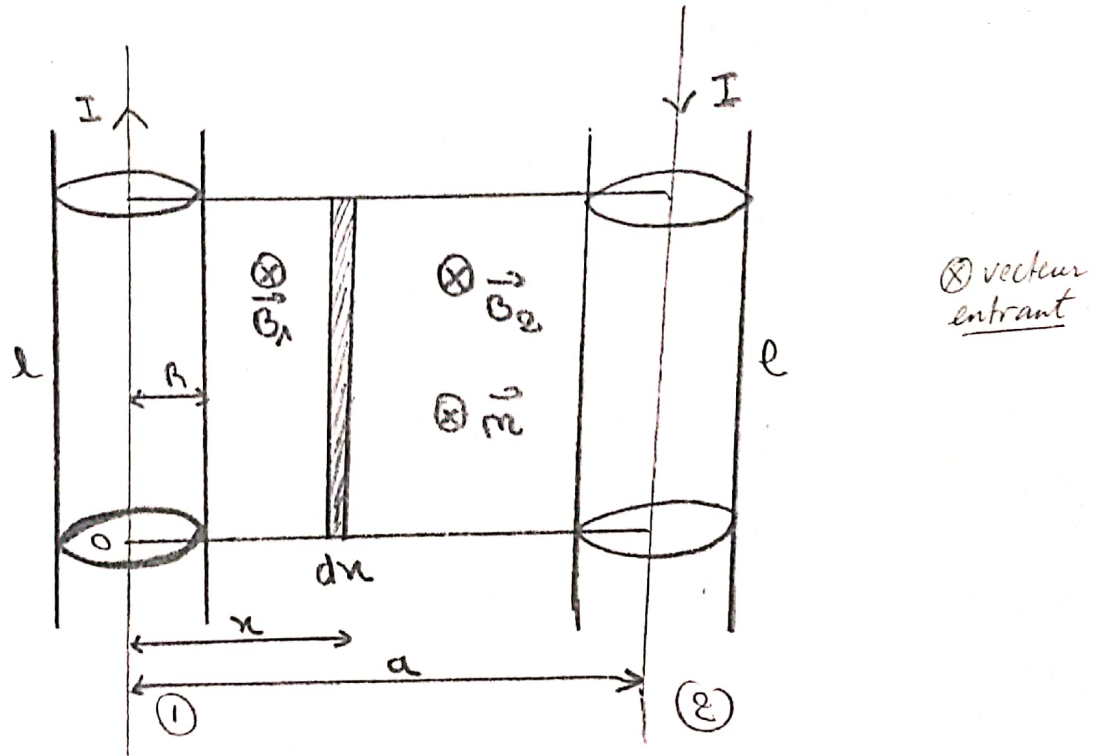
$$B\pi r^2 = A2\pi r$$

$$\Rightarrow \vec{A}(r) = \frac{\mu_{0mI}}{2} r \vec{e}_0$$

Voyons les graphes de $B(r)$ et de $A(r)$.



Exercice 2



On a $\vec{m} \perp$ au plan, mais son sens est arbitraire
(selon l'exercice)

- le champ total en n'importe quel point du circuit
- ne varie pas.
- Mais B_1 et B_2 varient

On a $B = B_1 + B_2$

$$B = \frac{\mu_0 I}{2\pi x} + \frac{\mu_0 I}{2\pi(a-x)}$$

les courants étant de sens inverse, les champs magnétiques créés ont dans la région du circuit le même sens et la même direction. Par raison de symétrie, le flux total Φ_{tot} est égal à
9 fois l'une des deux flux (Φ_1 ou Φ_2)

Calcul de Φ_1

$$\Phi_1 = \iint_S \vec{B}_1 \cdot \vec{n} \, dS \quad (\text{par def. du flux magnétique})$$

$$\Rightarrow \Phi_1 = \iint_{(S)} B_1 \, dS$$

Soit une branche du circuit, située à la distance x de l'axe de (1)

$$\Phi_1 = \iint_S B_1 \, dS = \int_0^a B_1 \, l \, dx$$

$$\Leftrightarrow dS = dx \, dy \quad \text{et} \int dy = l$$

On distingue deux régions d'intégration
 $0 \leq x \leq R$ et $R \leq x \leq a$

- Pour $0 \leq x \leq R$ $B_1 = \frac{\mu_0 I x}{2\pi R^2}$

$$\Phi_{1OR} = \int_0^R \frac{\mu_0 I x}{2\pi R^2} l \, dx = \frac{\mu_0 I}{2\pi R^2} l \cdot \frac{R^2}{2}$$

$$\boxed{\Phi_{1OR} = \frac{\mu_0 I}{4\pi} l}$$

- Pour $R \leq x \leq a$ $B_1 = \frac{\mu_0 I}{2\pi x}$

$$\Phi_{1Ra} = \int_R^a \frac{\mu_0 I}{2\pi x} l \, dx = \frac{\mu_0 I}{2\pi} l \ln\left(\frac{a}{R}\right)$$

$$\Phi_{1Ra} = \frac{\mu_0 I}{2\pi} l \ln\left(\frac{a}{R}\right)$$

Finallement

$$\Phi_1 = \frac{\mu_0 I}{4\pi} l + \frac{\mu_0 I}{2\pi} l \ln\left(\frac{a}{R}\right) = \frac{\mu_0 I}{2\pi} l \left(\frac{1}{2} + \ln\left(\frac{a}{R}\right) \right)$$

$$\boxed{\Phi_{\text{tot}} = \frac{\mu_0}{\pi} l \left(\frac{1}{2} + \ln \left(\frac{a}{R} \right) \right)}$$

2) Démonsons-en le coefficient d'auto-induction L .

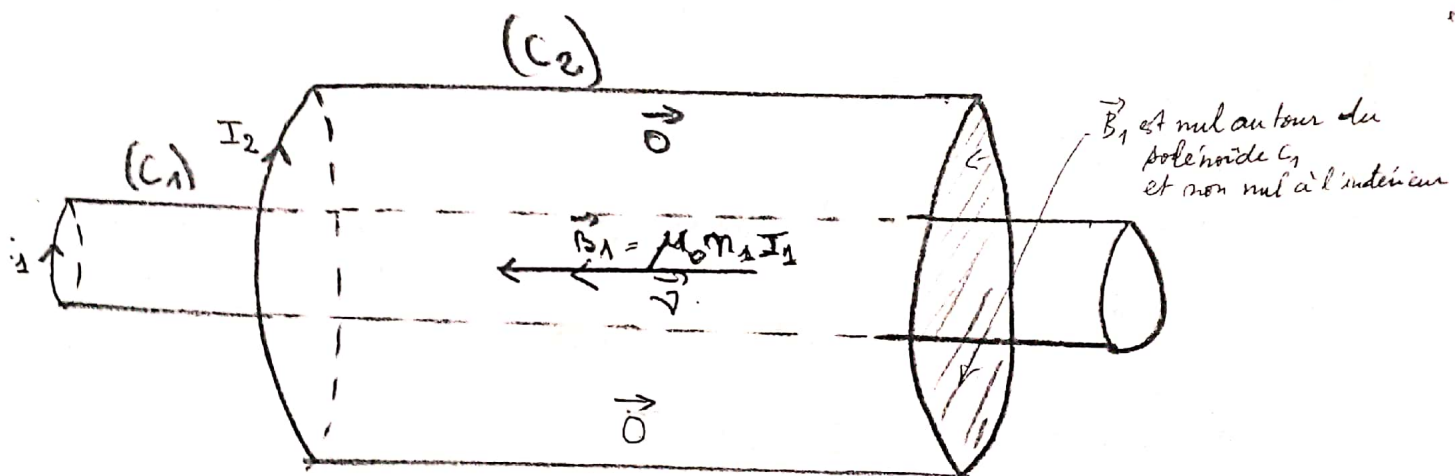
$$\Phi = LI \quad \Rightarrow \quad L = \frac{\Phi}{I}$$

$$\Rightarrow \boxed{L = \frac{\mu_0 l}{\pi} \left(\frac{1}{2} + \ln \left(\frac{a}{R} \right) \right)}$$

L est aussi appelé inductance propre; dépend des caractéristiques géom. du circuit ainsi que du milieu. $\mu_0 > 0$, s'exprime en Henry.

Exercice 3.

• Calculons le coefficient d'induction mutuelle M .



$$B_1 = \mu_0 N_1 I_1 \quad (\text{grand solénôde})$$

B_1 (champ uniforme)

$$B_2 = \frac{\mu_0 N_2 I_2}{2} (\cos \alpha_2 - \cos \alpha_1) \quad ???$$

Φ_{12} est le flux praticable car B_1 est uniforme

$$\Phi_{12} = N_2 \iint_{S_2} \vec{B}_1 \cdot \vec{V} \, ds \quad N_2 \stackrel{?}{=} n_2$$

Pour calculer n , on calcule Φ_{12} ou Φ_{21} .

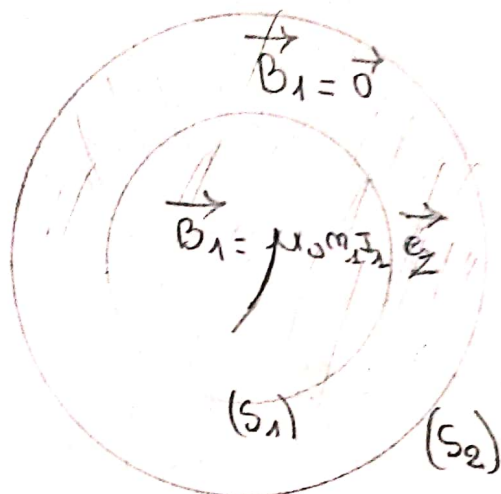
On appelle flux praticable, le flux

$$\Phi_{12} = N_2 \iint_{S_2} \vec{B}_1 \cdot \vec{V} \, ds$$

du Pre-
bouchon (dans le sens pour avoir la direction de I pour le tour)

On a: $\Phi_{12} = N_2 \iint_{S_2} \vec{B}_1 \cdot \vec{v} ds = N_2 \iint_{S_2} B_1 ds = N_2 B_1 S_2$

Ce que B_1 est uniforme



► Mais le champ B_1 est nul dans la partie annulaire. (?)

La partie utile ici étant S_1 , d'où: (on élimine la surface de l'anneau où $B_1 = 0$)

$$\Phi_{12} = N_2 B_1 S_1 = N_2 \mu_0 m_1 I_z S_1$$

$$\boxed{\Phi_{12} = N_2 \mu_0 m_1 I_z S_1}$$

le coefficient d'induction mutuelle

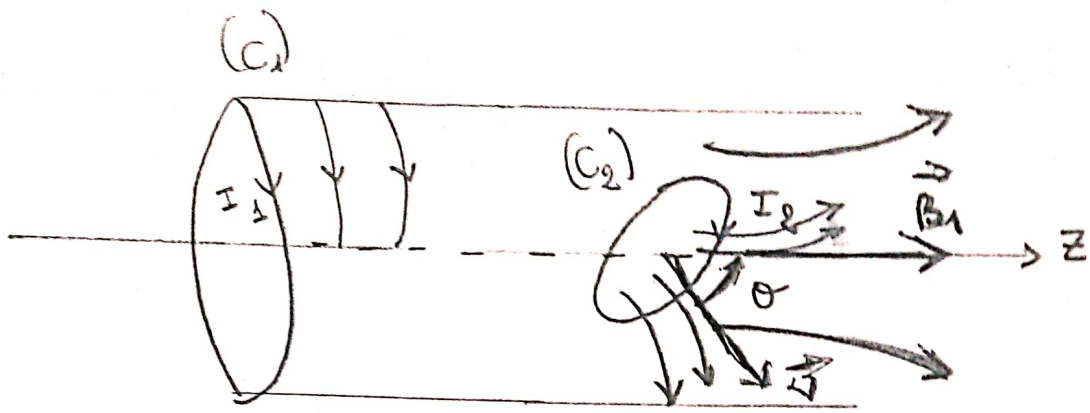
$$M = \frac{\Phi_{12}}{I_1} = N_2 \mu_0 m_1 S_1$$

par déf

$$\boxed{M = N_2 \mu_0 m_1 S_1} \geq 0$$

les lignes de champ \vec{B}_1 et \vec{B}_2 s'ajoutent.
Donc M est strictement positif.

Exercice 4



C₁ grand solénôide : I₁ crée l'induction B₁ qui est uniforme et portée par l'axe (z)

$$B_1 = \mu_0 n_1 I_1$$

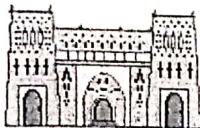
Seul Φ_{12} est praticable :

$$\begin{aligned} \Phi_{12} &= \frac{1}{2} \iint_{S_2} \vec{B}_1 \cdot \vec{n} \, dS \quad N_2 = 1 \\ (\vec{B}_1, \vec{n}) &= \theta \\ \Rightarrow \Phi_{12} &= 1 \times \iint_{S_2} B_1 \cos \theta \, dS \quad (1 = \text{car une spire}) \\ &= B_1 \cos \theta \iint_{S_2} dS \\ &= B_1 \cos \theta S_2 \end{aligned}$$

$$\text{Soit } \Phi_{12} = \mu_0 n_1 I_1 \cos \theta S_2$$

$$M = \frac{\Phi_{12}}{I_1} \Rightarrow M = \mu_0 n_1 S_2 \cos \theta$$

les lignes de champ de \vec{B}_1 et \vec{B}_2 s'ajoutent
d'où $M > 0$



Electromagnétisme TD3.

Exercice 1

Une onde plane, monochromatique, polarisée rectilignement selon Oy se propage dans le vide dans la direction Ox . Le module du champ électrique est : $E_i = E_0 \cos(\omega t - k \cdot r)$.

- 1) Ecrire l'expression du vecteur d'onde ainsi que le champ électrique incident \vec{E}_i .
- 2) Vérifier que le champ électrique obéit à l'équation d'Alembert.
- 3) Déduire l'expression du champ magnétique

Exercice 2

On considère l'espace vide (sans charges ni courants) rapporté à un trièdre direct $Oxyz$. Une onde électromagnétique, plane, monochromatique et polarisée rectilignement suivant l'axe des z se propage dans la direction Ou du plan Oxy faisant un angle θ avec l'axe des x .

- 1) Ecrire le vecteur d'onde incidente \vec{k}_i .
- 2) Vérifier que cette onde est bien plane.
- 3) Ecrire le champ électrique incident \vec{E}_i . Déduire le champ magnétique incident \vec{B}_i .
- 4) Calculer la densité volumique d'énergie électromagnétique totale dW/dv .
- 5) Exprimer les composantes du vecteur de Poynting $\vec{P}(M, t)$.

Exercice 3

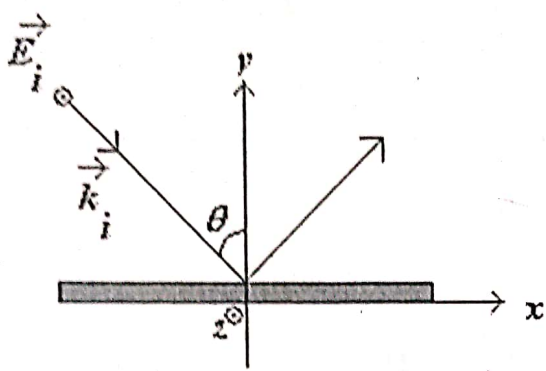
Une onde monochromatique polarisée rectilignement suivant l'axe des z se propage dans le vide dans la direction \vec{k}_i faisant un angle θ avec l'axe des y . Cette onde tombe sur la surface d'un conducteur parfait et donne naissance à une onde réfléchie.

- 1) Ecrire les vecteurs d'onde des champs incident \vec{k}_i et réfléchi \vec{k}_r .
- 2) Ecrire le champ électrique incident \vec{E}_i . Déduire le champ magnétique incident \vec{B}_i .
- 3) Ecrire le champ électrique réfléchi \vec{E}_r . Déduire le champ magnétique réfléchi \vec{B}_r .
- 4) Ecrire les conditions de continuité à la surface du conducteur parfait.

Déduire l'amplitude du champ électrique réfléchi E_{0r} .

- 5) Calculer la densité de charge s à la surface du conducteur.
- 6) Calculer le champ magnétique total tangentiel à la surface du conducteur.

Déduire la densité de courant \vec{j}_s .

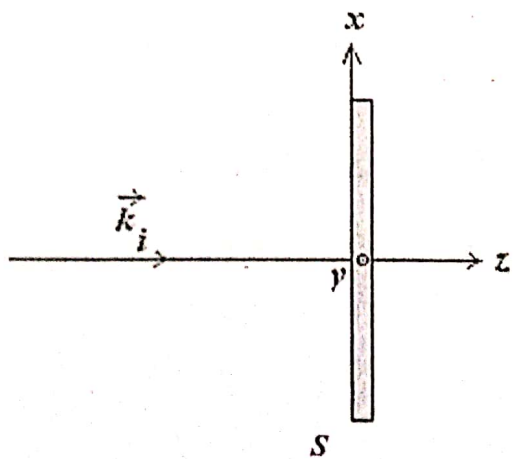


Exercice 4

Une onde monochromatique polarisée rectilignement se propage dans le vide dans le demi-plan $z < 0$ et tombe axialement sur une surface parfaitement conductrice (S). En $z = 0$, cette onde arrive sur (S) et donne naissance à une onde réfléchie. Le vecteur champ magnétique incident s'écrit :

$$\vec{B}_i = B_0 \exp j(\omega t - \vec{k} \cdot \vec{r}) e_y.$$

- 1) Ecrire le champ électrique incident. Donner la direction de polarisation de cette onde.
- 2) Ecrire la condition aux limites que satisfait le champ électrique total à la surface (S). Déduire les champs électrique et magnétique réfléchis
- 3) Calculer la densité de charge surfacique σ et la densité de courant surfacique \vec{j}_s qui peuvent se trouver à la surface du miroir.
- 4) Calculer les vecteurs de Poynting \vec{P}_i et \vec{P}_r , associés respectivement à l'onde incidente et à l'onde réfléchie.



Exercice 1

\vec{e}_y : direction de polarisation.

\vec{e}_n : direction de propagation

1) Envoyons l'expression de \vec{k} et de \vec{E}_i .

$$\boxed{\vec{k} = \frac{\omega}{c} \vec{e}_n}$$

$$\vec{E}_i = E_0 \cos(\omega t - \vec{k} \cdot \vec{n}) \vec{e}_y$$

$$\vec{k} \cdot \vec{n} = \begin{pmatrix} \frac{\omega}{c} \\ 0 \\ 0 \end{pmatrix} \cdot \begin{pmatrix} x \\ y \\ z \end{pmatrix} = \frac{\omega}{c} x$$

$$\boxed{\vec{E}_i = E_0 \cos\left(\omega t - \frac{\omega}{c} x\right) \vec{e}_y}$$

2) vérifions que le champ électrique vérifie obéit à l'équation d'Alembert.

$$\vec{E} = E_i \vec{e}_y = \begin{pmatrix} 0 \\ E_i \\ 0 \end{pmatrix}$$

$$\vec{\Delta E} - \frac{1}{c^2} \frac{\partial^2 \vec{E}}{\partial t^2} = \vec{0} \Rightarrow \Delta E_i - \frac{1}{c^2} \frac{\partial^2 E_i}{\partial t^2} = 0$$

$$\Rightarrow \Delta E_i - \frac{1}{c^2} \frac{\partial^2 E_i}{\partial t^2} = \frac{\partial^2 E_i}{\partial n^2} + \frac{\partial^2 E_i}{\partial y^2} + \frac{\partial^2 E_i}{\partial z^2} - \frac{1}{c^2} \frac{\partial^2 E_i}{\partial t^2}$$

Car E_i ne dépend pas de y ni de z .

$$\frac{\partial^2 E_i}{\partial n^2} = \frac{\partial}{\partial n} \left(-E_0 \left(-\frac{\omega}{c} \right) \sin\left(\omega t - \frac{\omega}{c} n\right) \right)$$

(13)

$$= -\frac{\omega^2}{c^2} E_0 \cos(\omega t - \frac{\omega}{c} x) = -\frac{\omega^2}{c^2} E_i$$

$$\frac{\partial^2 E_i}{\partial t^2} = \frac{\partial}{\partial t} \left(-\omega E_0 \sin(\omega t - \frac{\omega}{c} x) \right)$$

$$= -\omega^2 E_0 \cos(\omega t - \frac{\omega}{c} x) = -\omega^2 E_i$$

$$\text{d'où } \frac{\partial^2 E_i}{\partial x^2} - \frac{1}{c^2} \frac{\partial^2 E_i}{\partial t^2} = 0$$

L'équation d'Alembert est vérifiée.

3) Démontrons-en l'expression du champ magnétique

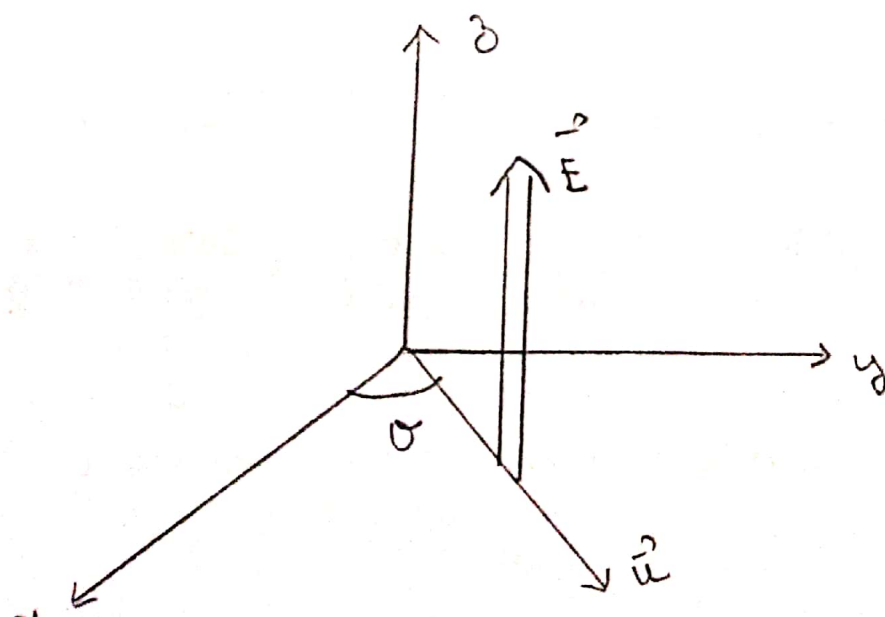
$$\text{Donc: } \vec{\nabla} \cdot \vec{E} = - \frac{\partial \vec{B}}{\partial t} \Leftrightarrow \vec{B} = \frac{\vec{u} \wedge \vec{E}}{c}$$

\vec{u} : vecteur unitaire de la direction de propagation

$$\text{Dans notre cas: } \vec{B} = \frac{\vec{e}_x \wedge \vec{E}}{c}$$

$$\Rightarrow \boxed{\vec{B} = \frac{E_0}{c} \cos(\omega t - \frac{\omega}{c} x) \vec{e}_z}$$

Exercice 2



- direction de polarisation : \vec{e}_3
 direction de propagation où : \vec{u}
 $\cdot (\vec{n}, \vec{u}) = 0$

1) Écrivons le vecteur d'onde incidente \vec{k}_i

$$\text{On a: } \vec{k}_i = \frac{\omega}{c} \vec{u} \text{ où } = \frac{\omega}{c} \vec{u}$$

d'autre part on a: $\vec{u} = \omega_0 \vec{e}_n + \sin\theta \vec{e}_y$

$$\text{Donc } \boxed{\vec{k}_i = \frac{\omega}{c} (\omega_0 \vec{e}_n + \sin\theta \vec{e}_y)}$$

2) vérifions que cette onde est bien plane

le champ électrique s'écrit :

$$\vec{E}_i = E_0 \omega (wt - \vec{k} \cdot \vec{r}) \vec{e}_3$$

$$\text{et } \vec{k} \cdot \vec{r} = \frac{\omega}{c} \begin{pmatrix} \cos\theta \\ \sin\theta \\ 0 \end{pmatrix} \cdot \begin{pmatrix} n \\ y \\ z \end{pmatrix} = \frac{\omega}{c} (n \cos\theta + y \sin\theta)$$

mais comme $y = n t \cos\theta$, cette expression devient

$$\vec{k} \cdot \vec{r} = \frac{\omega n}{c} (\omega_0 \cos\theta + t \cos\theta \sin\theta)$$

$$= \frac{\omega n}{c} \left(\frac{1}{\cos\theta} \right) = \frac{\omega n}{c \cos\theta}$$

finalement

$$\vec{E}_i = E_0 \omega \left(wt - \frac{\omega n}{c \cos\theta} \right) \vec{e}_3$$

\vec{E}_i ne dépend, donc que de n : C'est une onde plane.

3) Écrivons \vec{E}_i et déduisons-en \vec{B}_i

$$\boxed{\vec{E}_i = E_0 \omega \left(wt - \frac{\omega n}{c \cos\theta} \right) \vec{e}_3}$$

$$\vec{B}_i = \frac{\vec{u} \wedge \vec{E}}{c} = \frac{(\omega_0 e_n + \sin \theta \vec{e}_y)}{c}$$

$$\Rightarrow \vec{B}_i = \frac{-E_0}{c} \cos(\omega t - \frac{\omega n}{c \cos \theta}) \vec{e}_y + \frac{E_0}{c} (\sin \theta) \cos(\omega t - \frac{\omega n}{c \cos \theta}) \vec{e}_x$$

Posons $\vec{E}_i = E \vec{e}_z$

$$\Rightarrow \vec{B}_i = -\frac{E}{c} \cos \theta \vec{e}_y + \frac{E}{c} \sin \theta \vec{e}_x$$

$$E = E_0 \cos(\omega t - \frac{\omega n}{c \cos \theta})$$

$$\Rightarrow \boxed{\vec{B}_i = \frac{E}{c} (\sin \theta \vec{e}_x - \cos \theta \vec{e}_y)}$$

4) Calculons $\frac{dW}{dV}$ (densité volumique d'énergie électromagnétique totale)

$$\frac{dW}{dV} = \frac{1}{2} \underbrace{\epsilon_0 E^2}_{\text{égaux}} + \frac{1}{2} \underbrace{\frac{B^2}{\mu_0}}_{\text{égaux}} = \epsilon_0 E^2$$

$$\frac{dW}{dV} = \frac{dW_{el}}{dV} + \frac{dW_m}{dV}$$

$$\text{or } \frac{dW_{el}}{dV} = \frac{1}{2} \epsilon_0 E^2$$

$$\frac{dW_m}{dV} = \frac{1}{2 \mu_0} B^2$$

or dans le vide $E = CB \Rightarrow$

$$E^2 = C^2 B^2 \text{ mais } C^2 \epsilon_0 \mu_0 = 1 \Rightarrow E^2 = \frac{1}{\epsilon_0 \mu_0} B^2 \Rightarrow \epsilon_0 E^2 =$$

$$\boxed{\frac{dW}{dV} = \epsilon_0 E_0^2 \cos^2(\omega t - \frac{\omega n}{c \cos \theta})}$$

5) Exprimons les composantes du vecteur de Poynting $\vec{P}(M, t)$

$$\vec{P} = \frac{\vec{E} \wedge \vec{B}}{\mu_0}$$

$$\vec{E} = E \vec{e}_z$$

$$\vec{B} = \frac{E}{c} (\sin \theta \vec{e}_x - \cos \theta \vec{e}_y)$$

$$\text{et } \vec{E} = E_0 \cos(\omega t - \frac{\omega n}{c \cos \theta}) \vec{e}_z$$

$$\vec{P} = \frac{E}{\mu_0} \vec{e}_z \wedge B (\sin \theta \vec{e}_x - \cos \theta \vec{e}_y)$$

$$= \frac{EB}{\mu_0} (\sin \theta \vec{e}_y + \cos \theta \vec{e}_x)$$

$$\text{or } \vec{u} = \omega_0 \vec{e}_n + \sin \theta \vec{e}_y.$$

$$\Rightarrow \vec{P} = \frac{E \cdot B}{\mu_0} \vec{u}$$

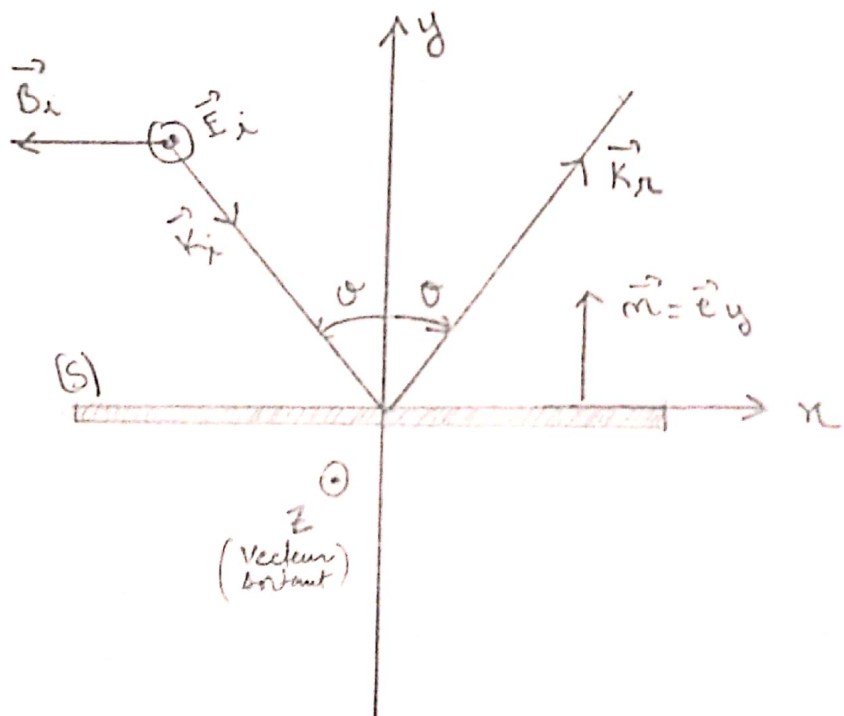
$$\Rightarrow \vec{P} = \frac{E_0}{\mu_0} \cos^2(\omega t - \frac{\omega n}{c \cos \theta}) \vec{u}$$

$$\Rightarrow \vec{P} = \frac{E_0}{\mu_0 c} \omega^2 \left(\omega t - \frac{\omega}{c} \frac{x}{\omega_0} \right) \vec{n}$$

① Toujours \vec{P} est porté par la direction de propagation.

Exercice 3.

- Direction de polarisation: \vec{e}_z
- Direction de propagation: \vec{k}_i



1) Écrivons \vec{k}_i et \vec{k}_r $i = \text{incident}, r = \text{réfléchi}$
en sens opposé (\vec{k}_i et \vec{y}) $\vec{k}_i = \frac{\omega}{c} \vec{n}_i$

$$\vec{k}_i = \frac{\omega}{c} (\sin \theta \vec{e}_x - \cos \theta \vec{e}_y)$$

$$\vec{k}_r = \frac{\omega}{c} (\sin \theta \vec{e}_x + \cos \theta \vec{e}_y).$$

2) Écrivons \vec{E}_i et déduisons-en \vec{B}_i

$$\vec{E}_i = E_0 \omega \left(\omega t - \vec{k}_i \cdot \vec{r} \right) \vec{e}_z$$

$$\vec{K}_i = \begin{pmatrix} \frac{\omega}{c} \sin \theta \\ -\frac{\omega}{c} \cos \theta \\ 0 \end{pmatrix} \quad \vec{n} \begin{pmatrix} n \\ y \\ z \end{pmatrix}$$

$$\Rightarrow \vec{K}_i \cdot \vec{n} = \frac{\omega}{c} n \sin \theta - \frac{\omega}{c} y \cos \theta$$

$$\Rightarrow \vec{E}_i = E_0 \omega \left[\omega t - \frac{\omega}{c} (n \sin \theta - y \cos \theta) \right] \vec{e}_z$$

or il s'agit d'une onde plane. Donc ne dépend que d'une seule coordonnée.

L'équation de la surface (S) est: ($y=0$) —

Exprimons donc E_i en fonction de y .

$$\text{or } n = y \operatorname{tg} \theta$$

$$\Rightarrow \vec{E}_i = E_0 \omega \left[\omega t - \frac{\omega}{c} y \left(\frac{\sin \theta}{\cos \theta} - \cos \theta \right) \right]$$

$$\Rightarrow \boxed{\vec{E}_i = E_0 \omega \left(\omega t + \frac{\omega}{c} y \frac{\cos^2 \theta}{\cos \theta} \right) \vec{e}_z}$$

Déduisons en \vec{B}_i

$$\vec{B}_i = \vec{n}_i \wedge \vec{E}_i$$

$$\vec{n}_i \wedge \vec{E}_i = \begin{pmatrix} \sin \theta \\ -\cos \theta \\ 0 \end{pmatrix} \wedge \begin{pmatrix} 0 \\ 0 \\ E \end{pmatrix} = \begin{pmatrix} E \cos \theta \\ -E \sin \theta \\ 0 \end{pmatrix}$$

$$\Rightarrow \boxed{\vec{B}_i = \frac{E_0 \omega}{c} \left(\omega t + \frac{\omega}{c} y \frac{\cos^2 \theta}{\cos \theta} \right) \left(-\omega \vec{e}_x - \sin \theta \vec{e}_y \right)}$$

3) Écrivons \vec{E}_r et déduisons en \vec{B}_r

$$\vec{E}_r = E_{0r} \omega \left(\omega t - \vec{K}_r \cdot \vec{n} \right) \vec{e}_z$$

$$= E_{0r} \omega \left[\omega t - \frac{\omega}{c} (n \sin \theta + y \cos \theta) \right] \vec{e}_z$$

$$\Rightarrow \boxed{\vec{E}_r = E_{0r} \omega \left[\omega t - \frac{\omega}{c} \frac{y}{\cos \theta} \right] \vec{e}_z}$$

$$x = y \operatorname{tg} \theta = y \frac{\sin \theta}{\cos \theta}$$

$$\vec{B} = \frac{\vec{E}_0 \times \vec{E}_R}{c}$$

$$\Rightarrow \boxed{\vec{B}_R = \frac{E_0 R}{c} \omega \left[\omega t - \frac{\omega}{c} \frac{y}{\omega_0} \right] \begin{pmatrix} \cos \theta \\ -\sin \theta \\ 0 \end{pmatrix}}$$

4) Écrivons les conditions de continuité à la surface du conducteur parfait. (cours)

$$\text{i)} \quad \vec{E}_{\text{tot},t} \Big|_{y=0} = \vec{0}$$

$$\text{ii)} \quad \vec{E}_{\text{tot},m} \Big|_{y=0} = \frac{\sigma}{\epsilon_0} \vec{e}_y$$

$$\text{iii)} \quad \vec{B}_{\text{tot},t} \Big|_{y=0} = \mu_0 \vec{J}_p \wedge \vec{e}_y$$

$$\text{iv)} \quad \vec{B}_{\text{tot},m} \Big|_{y=0} = \vec{0}$$

Déduisons-en E_0

$$\text{i)} \Rightarrow \vec{E}_i(y=0) + \vec{E}_R(y=0) = \vec{0}$$

$$\vec{E}_{\text{tot}} = \vec{E}_i + \vec{E}_R$$

$$\Rightarrow (E_0 \cos \omega t + E_{0R} \cos \omega t) \vec{e}_z = \vec{0}$$

$$\Rightarrow E_{0R} = -E_0$$

5) Calculons la densité de charge σ à la surface du conducteur.

le champ électrique étant purement tangentiel ($\vec{E} \parallel (s)$)

$$\Rightarrow \text{la composante normale } \vec{E}_{\text{tot},m} = \vec{0} = \frac{\sigma}{\epsilon_0} \vec{n}$$

$\Rightarrow \sigma = 0$: il n'y a pas de charges surfaciques.

$$\boxed{\sigma = 0}$$

6) Pour la densité de courants surfaciques

$$\vec{B}_{\text{tot}} \Big|_{y=0} = \vec{B}_i + \vec{B}_R$$

(16)

$$= \frac{E_0}{c} \left(\cos(\omega t + \frac{\omega}{c} y) \begin{pmatrix} \cos \theta \\ -\sin \theta \\ 0 \end{pmatrix} - \frac{E_0}{c} \cos(\omega t - \frac{\omega}{c} y) \begin{pmatrix} \cos \theta \\ \sin \theta \\ 0 \end{pmatrix} \right)$$

La composante tangentielle de \vec{B}_{tot} , calculée à la surface ($y=0$) du conducteur parfait.

$$\vec{B}_{tot,t}|_{y=0} = \left(-\frac{E_0}{c} \cos \omega t \cdot \cos \theta - \frac{E_0}{c} \cos \omega t \times \cos \theta \right) \vec{e}_n$$

$$\boxed{\vec{B}_{tot,t}|_{y=0} = -\frac{2E_0}{c} \cos \omega t \cdot \cos \theta \vec{e}_n}$$

Déduisons-en la densité de courant \vec{j}_s .

$$\text{Par ailleurs } \vec{B} = \mu_0 \vec{J}_P \wedge \vec{e}_y$$

$$\begin{aligned} \vec{B} \wedge \vec{e}_y &= \mu_0 (\vec{J}_P \wedge \vec{e}_y) \wedge \vec{e}_y \\ &= \mu_0 [(\vec{J}_P \cdot \vec{e}_y) \vec{e}_y - \vec{J}_P (\vec{e}_y \cdot \vec{e}_y)] \end{aligned}$$

$$\vec{J}_P \cdot \vec{e}_y = 0 \quad \text{car } \vec{J}_P \text{ est surfacique et } \perp \vec{e}_y$$

$$\Rightarrow \vec{B} \wedge \vec{e}_y = -\mu_0 \vec{J}_P$$

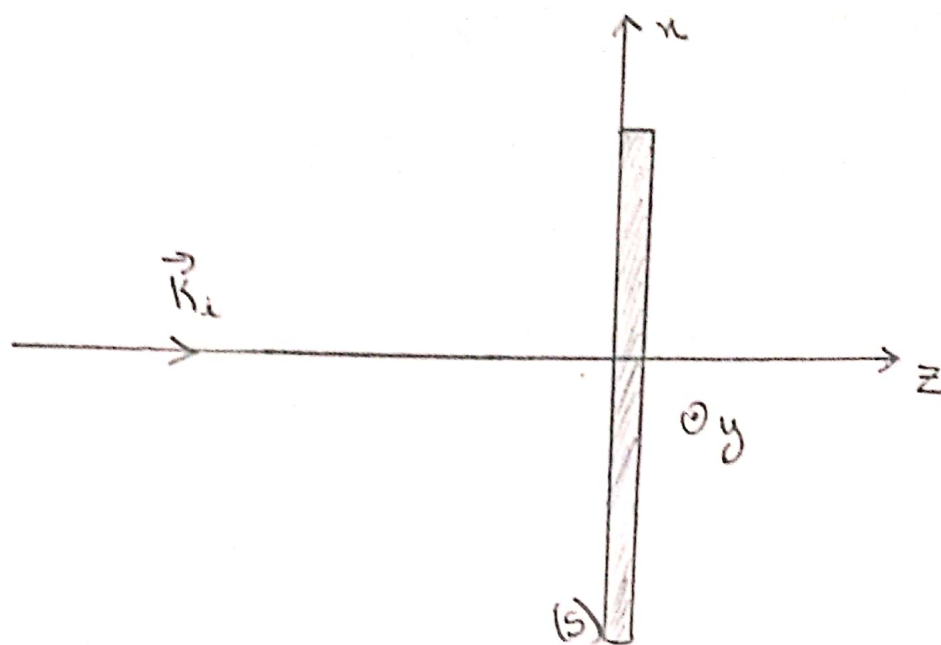
$$\text{On en déduit } \vec{J}_P = \vec{e}_y \wedge \vec{B}_{tot,t}|_{y=0} / \mu_0$$

$$\Rightarrow \boxed{\vec{J}_P = \frac{2E_0}{\mu_0 c} \cos \omega t \cdot \cos \theta \vec{e}_z}$$

A retenir : $(\vec{A} \wedge \vec{B}) \wedge \vec{C} = \vec{B} \cdot (\vec{A} \cdot \vec{C}) - \vec{A} \cdot (\vec{B} \cdot \vec{C})$ commutables

$$\vec{A} \wedge (\vec{B} \wedge \vec{C}) = \vec{B} \cdot (\vec{A} \cdot \vec{C}) - \vec{C} \cdot (\vec{A} \cdot \vec{B})$$

Exercice 4.



$$\vec{B}_i = B_0 \exp j(wt - \vec{k} \cdot \vec{r}) \vec{e}_y$$

1) Écrivons E_i

$$\vec{E}_i = E_0 \exp j(wt - \vec{k}_i \cdot \vec{r}) \vec{e}_n$$

Car le trièdre $(\vec{E}_i, \vec{B}_i, \vec{k}_i)$ est toujours direct

$$\vec{k}_i = \begin{pmatrix} 0 \\ 0 \\ \omega \end{pmatrix}$$

$$\vec{E}_i = E_0 \exp j(wt - \frac{\omega}{c} z) \vec{e}_n$$

$$E_0 = c B_0$$

$$\Rightarrow \boxed{\vec{E}_i = c B_0 \exp j(wt - \frac{\omega}{c} z) \vec{e}_n}$$

[la direction de polarisation est \vec{e}_n .]

On peut retrouver ce résultat par:

$$\vec{B}_i = \vec{e}_z \wedge \vec{E}_i$$

$$\Rightarrow c \vec{B}_i = \vec{e}_z \wedge \underbrace{E_i}_{0 \text{ car } \vec{E}_i \perp \vec{e}_z}$$

$$\Rightarrow c (\vec{B}_i \wedge \vec{e}_z) = -(\vec{e}_z \cdot \vec{E}_i) \vec{e}_z + (\vec{e}_z \cdot \vec{e}_z) \vec{E}_i = +\vec{E}_i \quad (17)$$

$$\text{d'où } \vec{E}_i = C (\vec{B}_i \wedge \vec{e}_z) \\ = C [B_0 \exp j(\omega t - \frac{\omega}{c} z)] \vec{e}_y \wedge \vec{e}_z$$

$$\Rightarrow \vec{E}_i = C B_0 \exp j(\omega t - \frac{\omega}{c} z) \vec{e}_x$$

2) Écrivons la condition aux limites que satisfait le champ électrique total à la surface (S)

$$\left[\vec{E}_{\text{tot},t} \Big|_{z=0} = \vec{0} \right]$$

incidence axiale \Rightarrow toutes les composantes sont purement tangentielles. Cette équation devient :

$$\left[\vec{E}_{\text{tot}} \Big|_{z=0} = \vec{0} \right]$$

Déduisons-en \vec{E}_r et \vec{B}_r

$$\text{Or } \vec{E}_{\text{tot}} \Big|_{z=0} = \vec{0} = \vec{E}_i \Big|_{z=0} + \vec{E}_s \Big|_{z=0}$$

$$\text{soit } E_0 \exp j\omega t + E_{0r} \exp j\omega t = 0$$

$$\Rightarrow E_{0r} = -E_0$$

$$\vec{E}_r = E_{0r} \exp j(\omega t - \vec{k}_r \cdot \vec{r}) \vec{e}_x$$

$$\vec{k}_r \cdot \vec{r} = \begin{pmatrix} 0 \\ 0 \\ \frac{\omega}{c} z \end{pmatrix} = -\frac{\omega}{c} z$$

car $\vec{r} = \vec{z}$

$$\left[\vec{E}_r = -E_0 \exp j(\omega t + \frac{\omega}{c} z) \vec{e}_x \right]$$

$$\text{Pours } \vec{E}_\pi = E_\pi \vec{e}_n$$

$$\vec{B}_\pi = -\frac{\vec{e}_3 \wedge \vec{E}_\pi}{c} = -\frac{\vec{e}_3 \wedge E_\pi \vec{e}_n}{c} = \frac{E_\pi}{c} (\vec{e}_3 \wedge \vec{e}_n)$$

$$\Rightarrow \boxed{\vec{B}_\pi = \frac{E_0}{c} \exp j(wt + \frac{\omega}{c} z) \vec{e}_y}$$

3) Calculons σ et \vec{j}_s

L'incidence étant axiale, les champs sont purement tangentiels

\Rightarrow la composante normale du champ électrique est nulle

$$\Rightarrow \boxed{\sigma = 0}$$

\rightarrow Pour la densité de courant superficielle \vec{j}_s .

\vec{B} étant également purement tangentiel, on a:

$$\vec{B}_{\text{tot}, t} = \vec{B}_{\text{tot}}$$

$$\Rightarrow \vec{B}_{\text{tot}}|_{z=0} = \vec{B}_{il}|_{z=0} + \vec{B}_\pi|_{z=0}$$

$$\Rightarrow \vec{B}_{\text{tot}}|_{z=0} = (B_0 e^{j\omega t} + \frac{E_0}{c} e^{j\omega t}) \vec{e}_y$$

$$\text{avec } B_0 = \frac{E_0}{c}$$

$$\Rightarrow \vec{B}_{\text{tot}}|_{z=0} = \frac{2E_0}{c} e^{j\omega t} \vec{e}_y$$

$$\text{or } \vec{j}_s = -\frac{\vec{e}_3 \wedge \vec{B}_{\text{tot}}|_{z=0}}{\mu_0}$$

$$\Rightarrow \boxed{\vec{j}_s = \frac{2E_0}{\mu_0 c} e^{j\omega t} \vec{e}_n}$$

5) Calculons \vec{P}_i et \vec{P}_r

$$\begin{aligned}\vec{P}_i &= \vec{E}_i \wedge \vec{B}_i \\ &= \frac{\mu_0}{\mu} \vec{E}_i \vec{e}_n \wedge \vec{B}_i \vec{e}_y = \frac{E_i B_i}{\mu_0} \vec{e}_3\end{aligned}$$

$$\Rightarrow \boxed{\vec{P}_i = \frac{E_0^2}{\mu_0 c} \exp 2j(wt - \frac{\omega}{c} z) \vec{e}_3}$$

Par un calcul similaire

On trouve: $\boxed{\vec{P}_r = -\frac{E_0^2}{\mu_0 c} \exp 2j(wt + \frac{\omega}{c} z) \vec{e}_3}$

partie 4 de l'exo 4

En un pt M situé dans le vide, la superposition des ondes incidente (\vec{E}_i, \vec{B}_i) et réfléchies (\vec{E}_r, \vec{B}_r) donne les champs résultants

$$\left\{ \begin{array}{l} \vec{E} = \vec{E}_i + \vec{E}_r \\ \vec{B} = \vec{B}_i + \vec{B}_r \end{array} \right.$$

Soit

$$\vec{E} = \left\{ E_0 e^{j(\omega t - \frac{\omega}{c}z)} - E_0 e^{j(\omega t + \frac{\omega}{c}z)} \right\} \vec{e}_x$$

$$\vec{B} = \left\{ \frac{E_0}{c} e^{j(\omega t - \frac{\omega}{c}z)} + \frac{E_0}{c} e^{j(\omega t + \frac{\omega}{c}z)} \right\} \vec{e}_y$$

tout calcul fait :

$$\boxed{\left\{ \begin{array}{l} \vec{E} = 2 E_0 \sin\left(\frac{\omega}{c}z\right) \sin\omega t \vec{e}_x \\ \vec{B} = \frac{2 E_0}{c} \cos\left(\frac{\omega}{c}z\right) \cos\omega t \vec{e}_y \end{array} \right.}$$

Ces expressions ne correspondent pas à des ondes qui se propagent.

Ce sont des ondes stationnaires